



## محیط زمین ساختی و ویژگی های خاستگاه سنگ های آذرین سازند ابرسج (اردوویسین فوکانی)، البرز شرقی، شمال شهرود

حبيب الله قاسمي<sup>\*</sup>، زكيه كاظمي

دانشگاه علوم زمین، دانشگاه صنعتی شهرود

(دریافت مقاله: ۹۰/۱۱/۷، نسخه نهایی: ۹۱/۳/۱۲)

**چکیده:** در سازندهای ابرسج و قلی شمال و جنوب غربی شهرود، رخنمونهایی از سنگ‌های آذرین به سن اردوویسین فوکانی به صورت گدازه بازالتی، دایک و سیل میکروگابرویی دیده می‌شوند. این سنگ‌ها دارای ترکیب بازالت، تراکی بازالت و تراکی آندزیت بازالتی با ماهیت قلیایی هستند. الگوهای قرارگیری موازی آن‌ها در نمودارهای بهنجار شده نسبت به گوشته اولیه‌ی و کندریت نشان دهنده خاستگاه مشترک این سنگ‌ها و نقش تبلور جدایشی در تشکیل آن‌هاست. در نمودارهای مختلف، تمایز محیط زمین ساختی، این سنگ‌ها در گستره‌ی بازالت‌های قلیایی وابسته به کافت درون قاره‌ای قرار می‌گیرند. این جایگاه با جغرافیای دیرین پالئوزوئیک زیرین البرز (وجود کافت درون قاره‌ای پالئوتیس توران) در زمان اردوویسین- سیلورین همخوانی دارد. بررسی‌های ژئوشیمیایی نشان می‌دهند که مآگمای تشکیل دهنده‌ی این سنگ‌های بازالتی از ذوب بخشی ۱۶ تا ۱۴ درصدی یک خاستگاه گوشته‌ی استنسفری غنی شده گارت پریدوتیتی (شبیه منابع OIB)، در اعماق ۱۰۰ تا ۱۱۰ کیلومتری حاصل شده است. این مآگما در خلال صعود به سطح زمین با پوسته‌ی قاره‌ای آلایش نیافته است.

**واژه‌های کلیدی:** بازالت، پالئوتیس، اردوویسین، ابرسج، شهرود.

اردوویسین تا دونین در مناطق وسیعی از ایران مرکزی و البرز است. یکی از اولین فعالیت‌های مآگمایی وابسته به کافت‌زایی پالئوتیس، در اردوویسین رخ داده است که از رخنمونهای شاخص آن می‌توان به سنگ‌های آذرین موجود در سازندهای ابرسج و قلی اشاره کرد. سازند ابرسج نخستین بار در نقشه‌ی ۱:۲۵۰۰۰ گرگان توسط [۱۱] معرفی شد. [۱۲، ۱۳] بر اساس بررسی‌های چینه‌شناسی سن سازند ابرسج را اردوویسین پسین (آشگلیین) دانسته و آن را معادل با سازند قلی در نظر گرفته‌اند. [۱۲] محیط تشکیل سازندهای ابرسج و قلی را یک محیط دریایی کم عمق ولی [۹] آن را یک محیط دریایی عمیق می‌دانند. دایک‌ها و روانه‌های بازالتی مشاهده شده در

### مقدمه

مجموعه‌ی ضخیمی از سنگ‌های آذرین غالباً آتشفسانی، مافیک و قلیایی به سن اردوویسین میانی- بالایی تا دونین میانی در کوههای البرز شناخته شده است [۱]. این فعالیت مآگمایی، به عنوان یک رخداد وابسته به کافت تفسیر شده است که تکامل آن در زمان اردوویسین میانی- بالایی تا دونین میانی منجر به تشکیل اقیانوس پالئوتیس در محل کنونی کوههای البرز شده است [۲، ۱]. بررسی‌های انجام شده روی سنگ‌های آذرین پالئوزوئیک زیرین در بخش‌هایی از ایران مرکزی و البرز شرقی [۱۰-۳] نیز بیانگر محیط کافت درون قاره‌ای این سنگ‌ها و تشکیل اقیانوس پالئوتیس در زمان

\* نویسنده مسئول، تلفن-نمبر: ۰۲۷۳ (۳۳۹۶۰۰۷)، پست الکترونیکی: h-ghasemi@Shahroodut.ac.ir

(ICP-AES) برای عناصر اصلی، مواد فرار و برخی از عناصر نادر Si, Ti, Al, Fe, Mn, Mg, Ca, Na, K, P, Cr, Ba, Nb, ) و بسته‌ی ترکیبی با کد IMS95A (Sr, Y, Zn, Zr) (برای بقیه عناصر نادر تجزیه‌ی شیمیایی شدنده (ICP-MS) (جدول ۱). نتایج حاصل، پس از تصحیحات لازم مربوط به حذف مواد فرار و تعیین نسبت آهن دوظرفیتی و سه ظرفیتی، در نمودارهای مختلف مورد استفاده قرار گرفتند.

سازند ابرسچ نشانگر کافته‌ای است که در طول تشکیل این سازند در کف دریا ایجاد شده‌اند [۶].

### روش بررسی

در این پژوهش پس از بررسی‌های صحرایی، نمونه‌برداری، تهیه‌ی مقاطع نازک و بررسی‌های سنگ‌شناسی دقیق، ۱۲ نمونه، با توجه به حداقل هوازدگی، انتخاب و در آزمایشگاه SGS کانادا به روش بسته‌ی ترکیبی با کد ICP95A (به روش

**جدول ۱** نتایج تجزیه‌ی شیمیایی نمونه‌های مورد بررسی که مقادیر اکسیدهای عناصر اصلی را به درصد وزنی و مقادیر عناصر فرعی و خاکی کمیاب را به بخش در میلیون نشان می‌دهد.

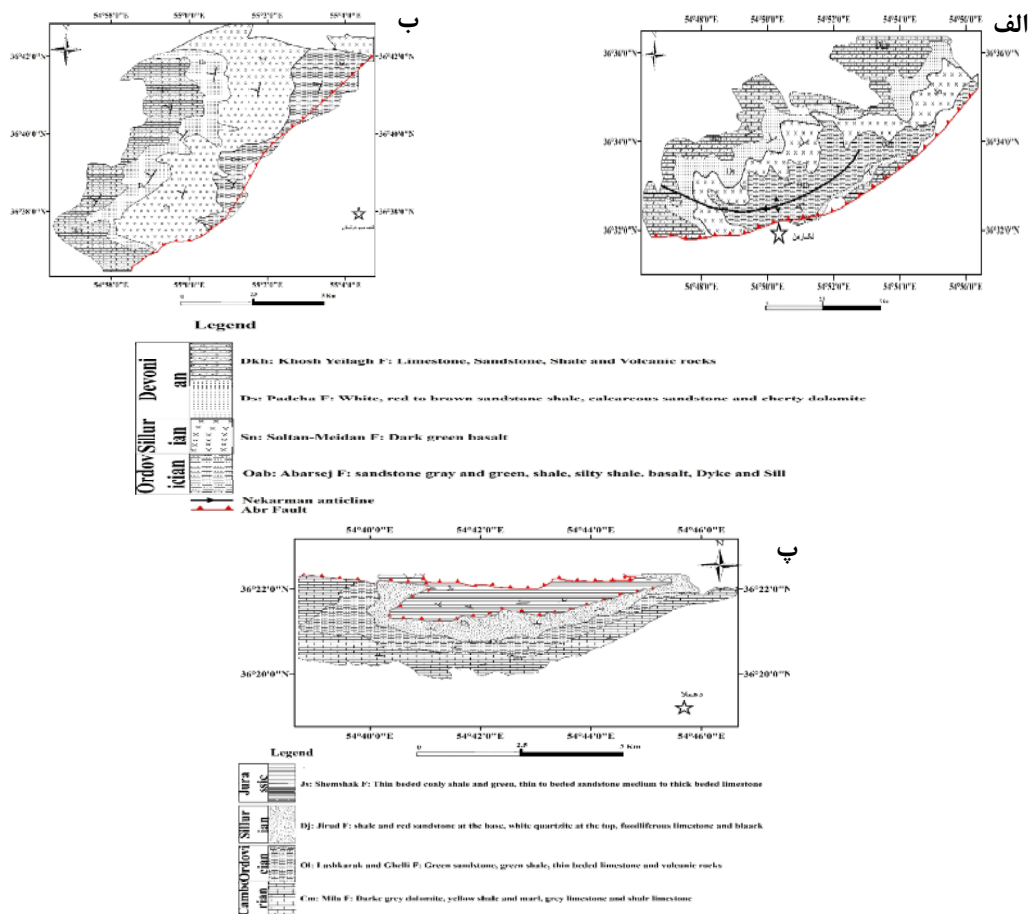
Sample	N-1,1	N-4,3	N-5,1	N-8,4	N-9,2	N-14,2	N-15,2	N-16,1	N-16,2	D-1,1	D-3,4	Kh3
SiO <sub>2</sub>	۴۷,۷	۴۵,۷	۴۶,۹	۴۷,۴	۴۷,۷	۴۸,۶	۴۸	۴۹,۷	۴۷	۴۴,۸	۴۷,۶	۴۸,۱
TiO <sub>2</sub>	۲,۲	۳,۲۴	۳,۱۶	۳,۴۱	۱,۹۵	۳,۰۲	۲,۲۷	۲,۹۵	۲,۸۴	۲,۵۵	۲,۶۸	۱,۷۷
Al <sub>2</sub> O <sub>3</sub>	۱۳,۵	۱۴,۳	۱۴,۷	۱۴,۸	۱۴,۹	۱۲,۹	۱۵,۱	۱۲,۸	۱۵,۱	۱۳,۷	۱۳,۶	۱۶
Fe <sub>2</sub> O <sub>3</sub>	۱۲,۱	۱۲,۴	۱۳,۹	۱۲,۱	۱۱,۲	۱۳,۵	۱۱,۲	۱۲,۸	۱۲	۱۲,۵	۱۲,۳	۹,۵۷
MnO	۰,۲۴	۰,۲۸	۰,۱۸	۰,۳۴	۰,۲۵	۰,۲۱	۰,۲۷	۰,۲۱	۰,۲۱	۰,۲۵	۰,۱۳	۰,۱۶
MgO	۶,۷۵	۵,۴۲	۱,۹۹	۴,۸۸	۶,۰۵	۲,۶۸	۵,۹۵	۴,۴۶	۶,۴۵	۵,۱۹	۴,۱۶	۶,۱۱
CaO	۸,۶۶	۵,۲۷	۴,۰۶	۶,۷۸	۷,۲۳	۶,۹۳	۷,۳۵	۷,۰۹	۶,۷۲	۴,۹۲	۷,۴۳	۸,۳۵
Na <sub>2</sub> O	۲,۷	۴,۳	۵	۳,۹	۳,۵	۳,۲	۳,۷	۲,۹	۴,۴۰	۲,۱	۲,۴	۲,۸
K <sub>2</sub> O	۱,۲۳	۱,۲۲	۲,۱۸	۱,۳۸	۲,۱۹	۰,۱۳	۱,۴	۰,۱۲	۰,۳	۱,۴۹	۰,۹۴	۱,۱۲
P <sub>2</sub> O <sub>5</sub>	۰,۷	۰,۵۳	۰,۴۵	۰,۵	۰,۲۶	۰,۳۸	۰,۳۲	۰,۳۶	۰,۳۲	۰,۳۱	۰,۳۵	۰,۲۶
L.O.I	۲,۰,۸	۳,۲۱	۵,۱۳	۲,۶۶	۲,۲۷	۲,۹۸	۲,۴۲	۳,۳۷	۳,۶۸	۷,۶۷	۵,۷۶	۳,۱۸
Total	۹۷,۴	۹۷,۱	۹۷,۶	۹۸,۲	۹۷,۵	۹۶,۵	۹۷,۹	۹۷,۷۶	۹۸,۸۱	۹۵,۵	۹۷,۴	۹۷,۵
Ba	۳۰,۰	۳۶,۰	۱۷,۰	۵۹,۰	۶,۰	۱۰۰	۴۷,۰	۱۲,۰	۱۶۰	۵,۰	۱۵۰	۲۸,۰
Co	۴۳,۹	۴۰,۴	۲۲,۶	۳۷,۶	۴۲,۷	۳۷,۴	۳۹,۲	۴۴,۲	۴۸	۴۰,۲	۳۷,۲	۳۴,۲
Cs	۰,۵	۱,۱	۱,۵	۰,۴	۰,۵	۰,۹	۰,۵	۱,۳	۰,۳	۱	۰,۴	۰,۱
Ga	۲,۰	۲,۵	۲,۳	۲,۵	۲,۰	۲,۲	۲,۱	۲,۶	۲,۴	۲,۲	۲,۲	۲,۰
Hf	۳	۶	۵	۶	۲	۵	۳	۳	۲	۴	۴	۲
Nb	۱۵	۲۲	۲۸	۳۴	۱۳	۲۲	۱۴	۲۳	۲	۱۶	۱۸	۱۱
Rb	۲۱,۸	۲۲,۲	۳۹,۹	۲۱,۹	۵۴,۵	۲,۳	۱۹	۳,۶	۴,۱	۱۹,۴	۱۸	۲۶,۸
Sr	۳۴,۰	۲۸,۰	۱۰۰	۳۶,۰	۴۹,۰	۲۵,۰	۴۸,۰	۲۸,۰	۲۸,۰	۱۹,۰	۲۹,۰	۳۹,۰
Ta	۱	۲,۲	۱,۹	۲,۳	۰,۸	۱,۵	۰,۹	۱,۳	۱,۱	۱,۱	۱,۲	۰,۷
Th	۱,۰	۴,۹	۳	۴,۶	۱,۶	۳,۱	۱,۶	۳,۱	۲,۲	۱,۸	۲,۳	۱,۲
U	۰,۳۸	۱,۱۴	۰,۶۹	۱,۱	۰,۳۷	۰,۸۲	۰,۴	۰,۸۴	۰,۴۹	۰,۵۳	۰,۶	۰,۲۸
V	۲۲,۹	۲۳,۵	۳۱,۳	۳۳,۷	۲۲,۹	۳۲,۴	۲۶,۲	۳۹,۳	۳۱,۲	۲۷,۸	۲۶,۶	۲۰,۶
Zr	۱۵۴	۲۶,۶	۲۱,۹	۲۵,۶	۱۲,۴	۲۰,۴	۱۳,۷	۱۸,۷	۱۷,۸	۱۶,۳	۱۸,۶	۹۹,۵
Cu	۱۴,۰	۶	۲۷	۱۷	۸	۵۳	۶	۸,۶	۱۹	۷,۶	۲۳	۷,۶
Zn	۲۳,۶	۲۷,۵	۱۵,۴	۲۸,۷	۴۶,۲	۱۳,۰	۲۸,۶	۱۵,۱	۲۴,۲	۹,۴۵	۲۲,۱	۱۸,۶
Ni	۷,۸	۳,۰	۲۹	۳۲	۶,۹	۲۹	۳,۶	۴,۴	۴,۶	۹,۱	۷,۴	۵,۷
La	۱۶,۲	۳۰,۸	۲۷,۳	۳۰,۵	۱۲,۹	۲۴,۴	۱۴,۷	۲۴	۱۷,۶	۱۵,۹	۱۷,۳	۱۲,۱
Ce	۳۸,۱	۶۹,۷	۶۱	۷۰,۳	۳۰,۷	۵۲,۵	۳۳,۵	۵۰,۴	۴۰,۶	۳۶,۳	۳۹,۱	۲۶,۵
Pr	۰,۰,۴	۹,۰,۹	۷,۹	۹,۱۵	۴,۱	۶,۷۹	۴,۵۹	۷,۰,۶	۵,۶۹	۴,۸۴	۵,۱۴	۲,۲۶
Nd	۲۱,۹	۳۶,۵	۳۳,۵	۳۸,۵	۱۸	۲۹,۸	۲۰,۳	۲۸,۹	۲۴,۸	۲۱,۵	۲۳,۲	۱۵
Sm	۵,۶	۸	۷,۷	۸,۴	۴,۶	۷,۱	۵,۲	۶,۸	۶,۱	۵,۴	۵,۶	۳,۷
Eu	۱,۸,۳	۲,۳۴	۲,۰,۸	۲,۵	۱,۵	۲,۶۲	۱,۸	۲,۵۲	۲,۱۸	۱,۷۹	۱,۹۹	۱,۴۴
Gd	۵,۵۵	۱,۰,۲	۱,۰,۲	۸,۲۲	۰,۴	۷,۴۵	۵,۶۶	۶,۹۵	۶,۴۳	۵,۷۵	۶,۲۹	۴,۲۳
Tb	۰,۸,۴	۱,۲۶	۱,۲۲	۱,۲۶	۰,۷۴	۱,۱۷	۰,۸۵	۱,۱۱	۱,۰,۱	۰,۸۷	۰,۹۸	۰,۸۳
Dy	۷,۷۸	۷,۰,۲	۶,۸	۷,۲۳	۴,۶۱	۶,۶۶	۴,۹۸	۶,۳۸	۵,۰۸	۴,۹۲	۵,۶۵	۳,۵۴
Ho	۰,۹۵	۱,۴۶	۱,۴	۱,۴۳	۰,۸۳	۱,۳۱	۰,۹۹	۱,۲۲	۱,۱۱	۰,۹۸	۱,۱۴	۰,۶۷
Er	۷,۳۴	۲,۷۲	۳,۵۲	۲,۷۵	۲,۲۴	۳,۲۹	۲,۳۷	۳,۲۸	۲,۹۵	۲,۴۶	۲,۹	۱,۸
Tm	۰,۳۲	۰,۵۲	۰,۴۷	۰,۴۹	۰,۳	۰,۳	۰,۴۴	۰,۴۷	۰,۴۱	۰,۳۲	۰,۴	۰,۲۴
Yb	۱,۹	۲,۳	۲,۱	۲,۱	۱,۹	۲,۸	۱,۹	۲,۷	۴,۲	۲,۱	۲,۶	۱,۵
Lu	۰,۲۳	۰,۴۷	۰,۴۲	۰,۴۴	۰,۲۶	۰,۳۸	۰,۲۶	۰,۴۳	۰,۳۳	۰,۳	۰,۳۳	۰,۱۹
Y	۲۴,۷	۲۸,۱	۳۴,۸	۲۶,۵	۲۲,۱	۳۳	۲۴,۹	۳۲,۸	۲۹,۹	۲۴,۲	۲۸,۸	۱۸,۵

روانه‌های بازالتی موجود در سازند ابرسچ، دارای بافت بادامکی بوده، حفره‌های آن‌ها با کانی‌های ثانویه از قبیل کلریت، کلسیت و کوارتز پر شده‌اند. وجود قطعات رسوبی (ماسه‌سنگ‌ها و سیلستون‌های وابسته به سازند ابرسچ) به صورت بیگانه سنگ در این بازالت‌ها حاکی از فوران انفجاری ماقما در زیر آب است. همچنین درزه‌ها و شکستگی‌های کم و بیش منظم، خردشیدگی، شکستگی صدفی و پافت‌های حفره‌ای پر شده با کانی‌های ثانویه در بازالت‌های منطقه می‌تواند بیانگر فوران ماقما در محیط زیر آبی و در برخورد با آب باشد. دایک‌ها و سیل‌های موجود در سازنده‌های ابرسچ و قلی دارای بافت میکروگابرویی بوده و شباهت‌های فراوانی با بازالت‌های سلطان میدان روی این سازنده دارند. به اعتقاد [۱۹]، این دایک‌ها و سیل‌های میکروگابرویی، در حقیقت ماقمای منجمد شده در مجاري تعذیه کننده فوران عظیم بازالتی سیلورین منطقه هستند که با ضخامت بیش از ۷۰۰ متر روی سازند ابرسچ قرار دارند.

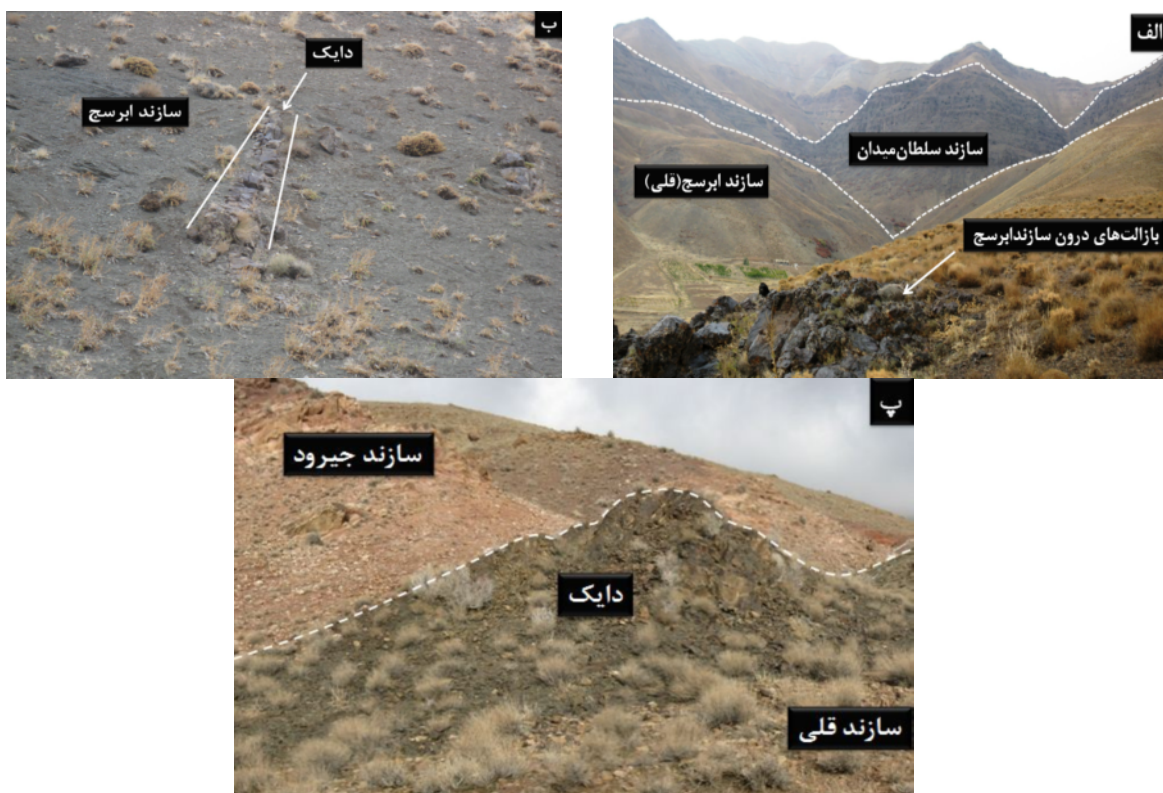
## بحث و بررسی

### زمین‌شناسی مناطق مورد بررسی

مناطق مورد بررسی در بخش شمال و جنوب‌غربی شهرستان شاهروド در سه منطقه نکارمن (شمال‌غربی شاهروود)، قلعه‌نورخان (شمال شاهروود) و دهملا (جنوب‌غربی شاهروود) در گستره‌ای به طول‌های جغرافیایی  $54^{\circ}44' \text{ E}$  تا  $55^{\circ}0' \text{ E}$  و عرض‌های جغرافیایی  $36^{\circ}20' \text{ N}$  تا  $36^{\circ}36' \text{ N}$  و  $36^{\circ}39' \text{ N}$  تا  $36^{\circ}42' \text{ N}$  شمالي در زون البرز شرقی قرار دارند (شکل ۱). سنگ‌شناسی عمده‌ی سازنده‌های ابرسچ و قلی شامل ماسه‌سنگ، سیلستون میکادار و شیل‌های زیتونی و سبز تا خاکستری می‌باشد. سازند آبستو به سن اردوویسین زیرین [۱۲] شامل مجموعه‌ای از دولومیت، آهک و شیل در زیر و سنگ‌های آتشفسانی سازند سلطان میدان به سن سیلورین [۶] روی سازند ابرسچ قرار دارند. سنگ‌های آذرین مورد بررسی به صورت گدازه، دایک و سیل در سازنده‌های ابرسچ و قلی دیده می‌شوند (شکل‌های ۲-الف و ۲-ب و ۲-پ).



شکل ۱ نقشه‌ی زمین‌شناسی مناطق مورد بررسی، الف- نکارمن (شمال‌غربی شاهروود)، ب- قلعه‌نورخان (شمال شاهروود)، پ- دهملا (جنوب‌غربی شاهروود).



شکل ۲ (الف) نمایی از حضور گدازهای بازالتی در سازند ابرسج در دره کلودر (شمال نکارمن)، دید به سوی شمال، (ب) حضور یک دایک میکروگابرویی در سازند ابرسج در دره کلودر (شمال نکارمن)، دید به سوی شمال شرق، (پ) نمایی از یک دایک رخنمون یافته در سازند قلی، منطقه دهملا، دید به سوی جنوب غرب.

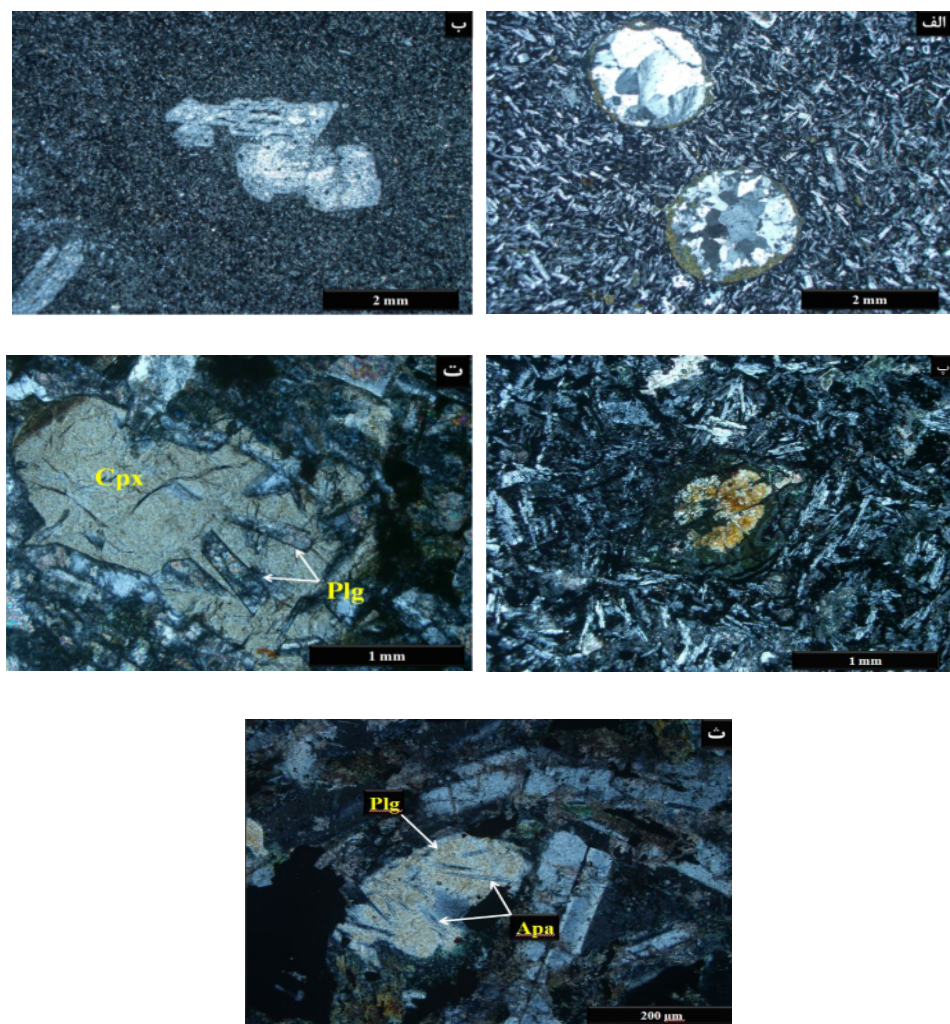
اختلاط ماجمایی، کاهش فشار در خلال صعود ماجما را می‌توان عامل ایجاد حاشیه‌های گرد شده در فتوکریستهای این کانی در نظر گرفت. از مهم‌ترین کانی‌های فرعی این سنگ‌ها می‌توان به الیوین و کانی‌های کدر اشاره کرد که براساس مشاهدات مقاطع صیقلی از نوع مگنتیت، پیریت و کالکوپیریت هستند. بلورهای الیوین غالباً در اثر تجزیه شدن با ایدنگسیت، کلریت، کلسیت و اکسید آهن جانشین شده‌اند (شکل ۳-پ).

#### میکروگابروها

بافت‌های درون دانه‌ای، نیمه‌افیتیک و افیتیک، بافت‌های غالب در سنگ‌های میکروگابرویی هستند (شکل ۳-ت). پلازیوکلاز و کلینوپیروکسن (اوژیت) از جمله کانی‌های اصلی این سنگ‌ها را تشکیل می‌دهند. به دلیل حضور بلورهای پلازیوکلاز پیروکسن به نظر می‌رسد که تبلور، ابتدا از میدان پلازیوکلاز شروع شده باشد. بلورهای سوزنی شکل و طویل آپاتیت به مقدار کم در این سنگ‌ها مشاهده می‌شوند (شکل ۳-ث). کلریت و کلسیت از کانی‌های ثانویه این سنگ‌ها هستند.

#### سنگ نگاری بازالتها

نمونه‌های بازالتی مورد بررسی دارای بافت‌های پورفیری، گلومرپورفیری، بادامکی، جریانی، نیمه افیتیک و درون دانه‌ای هستند (شکل ۳-الف). کانی مهم تشکیل دهنده‌ی نمونه‌های بازالتی، پلازیوکلاز با بلورهای شکل دار تا نیمه شکل دار است که اندازه‌ی آن گاهی تا بیش از ۲ میلی‌متر می‌رسد. این بلورها در زمینه‌ای متشکل از ریزبلورهای پلازیوکلاز، کلینوپیروکسن (ریزدانه تا ۱ میلی‌متر) و کانی‌های ثانویه از قبیل کلریت، اپیدوت و اکسید آهن قرار گرفته‌اند. به دلیل نفوذ شاره‌ها، سنگ‌های بازالتی تا حدودی دستخوش دگرسانی شده و پلازیوکلازهای کلسیک آن‌ها سوسوریتی شده‌اند. گرم شدن پلازیوکلاز در دمای بالاتر از دمای انجماد باعث حل شدن و گرد شدن آن می‌شود (شکل ۳-ب). این حالت یا تحت تأثیر کاهش ناگهانی فشار در خلال صعود ماجما و یا در اثر اختلاط ماجمایی رخ می‌دهد [۱۵]. به علت مشاهده نشدن شواهد



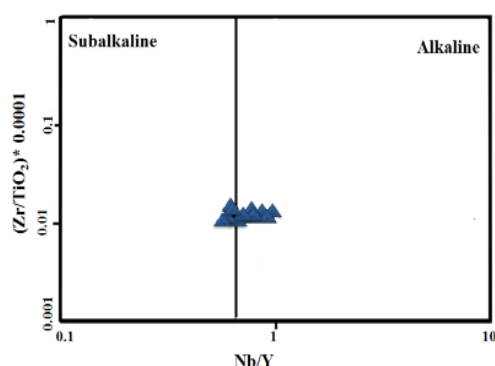
شکل ۳ (الف) حفره‌های پر شده با کوارتز، اپیدوت و کلسیت و تشکیل بافت بادامکی در بازالت‌ها (XPL)، (ب) تصویری از انحلال و گرد شدن حاشیه‌های بلورهای پلازیوکلаз (XPL)، (پ) بلور الیوین که از حاشیه کلربی شده و در زمینه‌ای از بلورهای ریز پلازیوکلاز قرار دارد (XPL)، (ت) قرارگیری کامل بلور پلازیوکلاز (Plg) در کانی کلینوپیروکسن (Cpx) و تشکیل بافت افیتیک در میکروگابروها (نور XPL)، (ث) قرار گرفتن بلورهای آپاتیت (Apa) روی پلازیوکلاز (نور XPL).

از نظر [۱۸]، ماهیت قلیایی مagmaهای بازالتی می‌تواند در نتیجه‌ی دو سازوکار مهم باشد: (۱) نرخ کم ذوب بخشی سنگ خاستگاه و (۲) ذوب بخشی گوشه‌ی دگرنهاد شده به وسیله‌ی شاره‌ها یا آبغون‌ها. همچنین به عقیده‌ی [۱۹]، magmaهای قلیایی می‌توانند در اثر واکنش بین مذاب استنسفری و گوشه‌ی لیتوسفیری تشکیل شوند. مقادیر عناصر کمیاب نمونه‌های مورد بررسی نسبت به فراوانی این عناصر در گوشه‌ی اولیه [۲۰] و کندریت [۲۱] بهنجار شده‌اند (شکل‌های ۶-الف و ۶-ب). در این نمودارها شبیه منفی قابل ملاحظه‌ای مشاهده می‌شود که LREE نسبت به HREE است. به اعتقاد [۲۲]، بازالت‌های قلیایی درون ورقه‌ای از عناصر ناسازگار، عناصر لیتوفیل بزرگ یون و

### ژئوشیمی

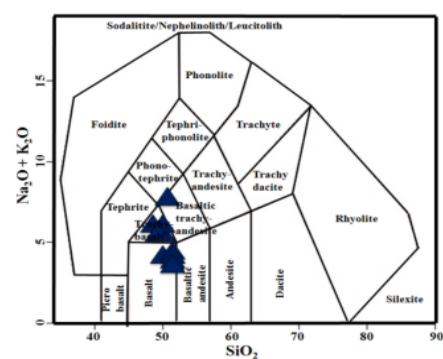
نظر به یکنواختی ترکیب سنگ‌شناسی و شیمیایی نمونه‌های سنگی منطقه و حالت نیمه‌عمیق (دایک گونه) میکروگابروها، از نمودارهای ژئوشیمیایی یکسانی برای نمونه‌های بازالتی و میکروگابروی استفاده شده است. در نمودار ردبندی [۱۶]، نمونه‌های مورد بررسی در گستره بازالت، تراکی بازالت و تراکی آندزیت بازالتی قرار گرفته‌اند (شکل ۴). به دلیل نامتحرك بودن عناصر HFS (از قبیل Th, Ta, Zr, Hf, Nb) در خلال  $\text{Nb}/\text{Y}$  نسبت به دگرسانی و دگرگونی دمای پایین، از نمودار  $\text{Zr}/\text{TiO}_2 \times 0.0001$  [۱۷] برای تعیین سری magmaی سنگ‌های آذرین مورد بررسی استفاده شد که در آن نمونه‌ها در گستره‌ی بازالت‌های قلیایی قرار گرفته‌اند (شکل ۵).

نسبت‌های بیشتر از یک آن‌ها بیانگر خاستگاه استنسوferی بازالت‌هاست (به عنوان نمونه نسبت  $Nb/La$  در بازالت‌ها مورد بررسی بیش از یک بوده و حاکی از خاستگاه استنسوferی است). بی‌هنجاری مثبت کوچکی که در عناصر  $Ti$  و  $Nb$  مشاهده می‌شود نشانه‌ای از عدم آلایش مagma با پوسته و جایگاه غیر فروزانشی آن است [۲۶]. عواملی از قبیل میزان ذوب بخشی و ضخامت لیتوسфер، فراوانی  $Ti$  را در مذاب‌های اولیه کنترل می‌کنند [۲۵]. عناصر LREE و  $Nb$  بطور متغیر بیشترین فراوانی را در مagmaهای وابسته به ستون‌های گوشه‌ای برخاسته از جایگاه‌های درون ورقه‌ی اقیانوسی یا قاره‌ای دارند [۲۷]. همچنین [۲۸]، نبود بی‌هنجاری منفی  $Nb$ ،  $Ti$  و  $Ta$  را بیانگر ریشه گرفتن magma مولد از یک خاستگاه شبیه به خاستگاه OIB دانسته‌اند (گوشه‌ی آستنسوferی).

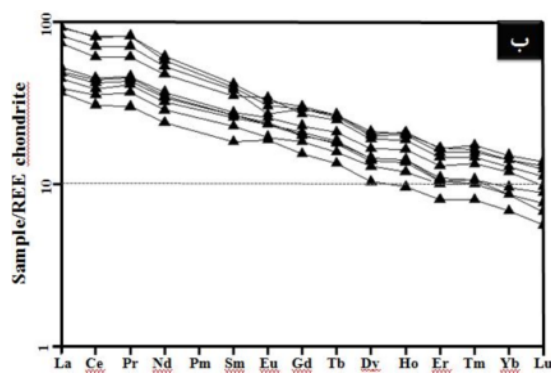


شکل ۵ موقعیت نمونه‌های مورد بررسی در نمودار  $[Zr/TiO_2]^*0.0001$  نسبت به  $Nb/Y$  [۱۷]

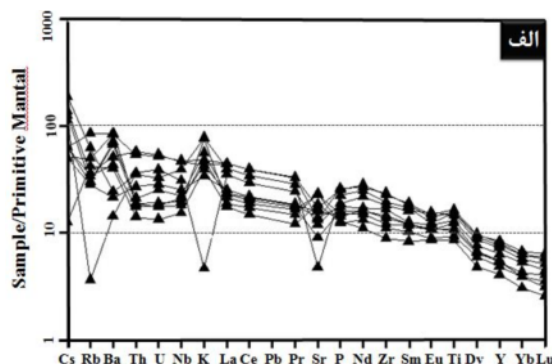
عناصر با شدت میدان بالا غنی‌شدگی نشان می‌دهند. تهی-شدگی از عناصر نادر خاکی سنگین می‌تواند ناشی از ذوب بخشی درجه پایین یک سنگ خاستگاه گارنت‌دار، نسبت بالای  $CO_2/H_2O$  در محیط ذوب و جدایش الیوین و کلینوپیروکسن در خلال جدایش ماغما باشد [۲۴، ۲۳]. موازی بودن تقریبی الگوی عناصر در نمودارهای بهنجار شده‌ی بازالت‌های منطقه نشان دهنده‌ی خاستگاه مشترک این سنگ‌ها و نقش تبلور جدایشی به عنوان ساز و کار اصلی تشکیل آن‌هاست. وجود بی‌هنجاری‌های مثبت و منفی در عناصر طی دگرسانی نسبت داد. می‌توان به متحرک بودن این عناصر طی دگرسانی نسبت داد. به اعتقاد [۲۵]، می‌توان از نسبت‌های عناصر HFSE/LREE به عنوان نشانگر خاستگاه بازالت‌ها استفاده کرد. مقادیر کمتر از یک این نسبت‌ها نشان دهنده‌ی خاستگاه لیتوسferی، و



شکل ۶ موقعیت نمونه‌های مورد بررسی در نمودار  $Na_2O+K_2O$  نسبت به  $SiO_2$  [۱۶].

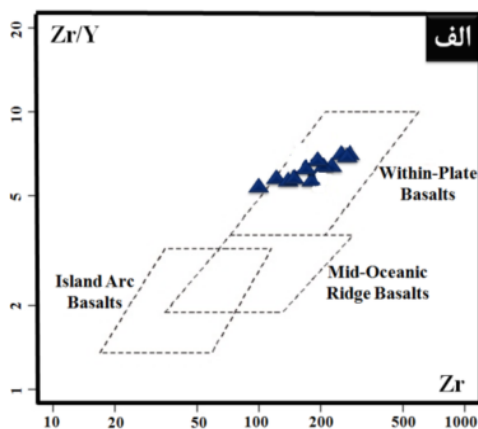


شکل ۶ (الف) نمودار عنکبوتی بهنجار شده نسبت به گوشه‌ی اولیه [۲۰] برای نمونه‌های مورد بررسی، ب) نمودار بهنجار شده عناصر نادر خاکی نسبت به کندریت [۲۱] نمونه‌های مورد بررسی.



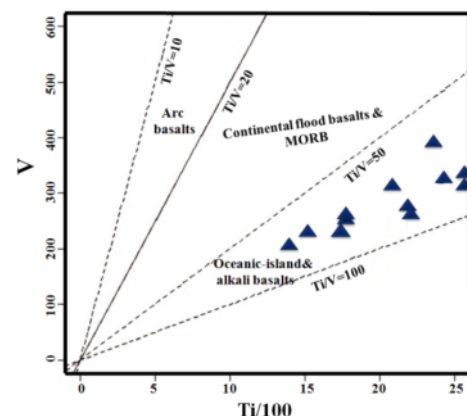
مورد بررسی از نوع OIB نیستند بلکه از نوع درون ورقه قاره‌ای هستند. ولی به دلیل اینکه محل خاستگاه بازالت‌های OIB مشابه محل خاستگاه بازالت‌های درون ورقه قاره‌ای است، بنابراین خصوصیات آن‌ها را نشان می‌دهند. این محیط با رژیم کششی حاکم بر لبه‌ی شمال شرقی ابرقاره‌ی گندوانا و تشکیل کافت پالئوتیس توران در زمان اردوویسین - سیلورین که منجر به تشکیل اقیانوس پالئوتیس و جدا شدن البرز از گندوانا شده است، همخوانی دارد [۷]. بر اساس نمودار Nb نسبت به شده است،  $\text{Nb/Y}$  [۳۶]، سنگ‌های بازالتی منطقه از ذوب بخشی با درجه-ی پایین یک خاستگاه گارنتدار به وجود آمداند و در گستره‌ی OIB قرار می‌گیرند (شکل ۹). همه‌ی نمونه‌های مورد بررسی دارای نسبت بالایی از  $\text{Nb/Yb}$  هستند که بیانگر مشتق شدن ماقمای تشکیل دهنده‌ی سنگ‌های بازالتی از یک مخزن عمیق OIB مانند، یعنی یک منبع گوشته‌ای استنوسفری غنی شده است.

نسبت  $\text{Zr/Nb}$  در بازالت‌های نوع OIB کمتر از ۱۰ است [۳۷]. این نسبت نیز در سنگ‌های بازالتی مورد بررسی نیز کمتر از ۱۰ است. نمودار  $(\text{Ce/Yb})\text{N}$  (نسبت به  $\text{N} = (\text{Dy/Yb})\text{N}$ ) از [۳۸] نشان می‌دهد که سنگ‌های بازالتی مورد بررسی از ذوب بخشی با درجه‌ی پایین یک خاستگاه فرضی مشابه با منبع نوع OIB تشکیل شده‌اند (شکل ۱۰). به اعتقاد [۲۵]، مقدار  $\text{OIB}$  تراویح شده‌اند (شکل ۱۰). به اعتقاد [۳۱]، نسبت  $\text{Dy/YbN} > 1,06$  (بیانگر بازالت‌هایی با خاستگاه گارنت لرزولیت و نسبت  $\leq 1,06$  ( $\text{Dy/Yb})\text{N}$ ) نشان دهنده‌ی بازالت‌هایی با خاستگاه اسپینل لرزولیت است (عناصر نسبت به کندریت [۲۱] بهنجار شده‌اند). مقدار  $\text{N}$  در بازالت‌های قلیایی مورد بررسی بیشتر از ۱/۳۶ است

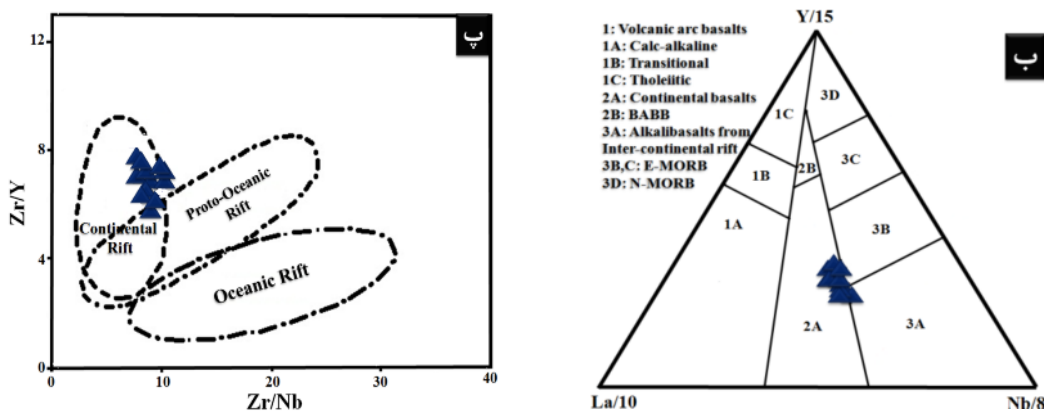


شکل ۸ الف) موقعیت نمونه‌های مورد بررسی در میدان بازالت‌های درون ورقه‌ای در نمودار  $\text{Zr/Y}$  نسبت به  $\text{Zr}$ . [۳۲].

محیط زمین‌ساختی دیرین و ویژگی‌های محل خاستگاه ماگما در سنگ‌های مافیک، فلزات انتقالی (مانند Cr و Ni) و عناصر با قدرت میدان بالا (مانند Ti, Zr, Y, Th, Nb) تحت شرایط دگرسانی و دگرگونی با درجه پایین، نسبتاً نامتحرك هستند، در حالی که عناصر لیتوفیل بزرگ یون از قبیل  $\text{K}_2\text{O}$ , Cs و Rb, Ba باشد متوجه کند [۲۸]. بنابراین، برای تعیین محیط زمین‌ساختی و ویژگی‌های محل خاستگاه سنگ‌های آذرین مورد بررسی، بیشتر از این عناصر استفاده شد. به عقیده-ی [۲۹]، مقادیر بالای تیتانیکی از ویژگی‌های آشکار بازالت‌های نوع OIB است. در نمودار  $\text{Ti}/1000$  نسبت به  $\text{V}$  [۳۰]، همه‌ی نمونه‌ها در گستره‌ی بازالت‌های قلیایی و بازالت‌های جزایر اقیانوسی (OIB) قرار گرفته‌اند (شکل ۷). نسبت  $\text{Ti}/\text{V}$  از نشانگرهای ژئوشیمیایی است که می‌تواند نقش آلایش ماقمای بازالتی با پوسته‌ی قاره‌ای را طی صعود نشان دهد [۲۸]. این نسبت در سنگ‌های بازالتی منطقه بیانگر عدم آلایش آن‌هاست. به اعتقاد [۳۱]، مقادیر  $\text{Zr}/\text{Sm}$  و  $\text{Zr}/\text{Y}$  بازالت‌های درون ورقه‌ای به ترتیب عبارتند از،  $40 - 40/4$  و  $0.8 - 0.04$ . مقادیر این نسبتها در بازالت‌های منطقه به ترتیب،  $0.75 - 0.75/0.33$  و  $26.35 - 26.35/0.33$  است که در گستره‌ی بازالت‌های درون ورقه‌ای قرار می‌گیرند. بازالت‌های منطقه در نمودارهای تمایز محیط زمین‌ساختی [۳۴-۳۲] در گستره‌ی بازالت‌های درون ورقه‌ی قاره‌ای و به طور مشخص در محیط کافت درون قاره‌ای قرار گرفته‌اند (شکل ۸-الف، ۸-ب و ۸-پ). در بازالت‌های قلیایی درون ورقه‌ای (OIB) اقیانوسی نسبت  $\text{Zr}/\text{Y}$  بزرگتر از ۴ است [۳۵]. این نسبت در بازالت‌های مورد بررسی بیشتر از ۵ است. البته باید یادآور شد که بازالت‌های



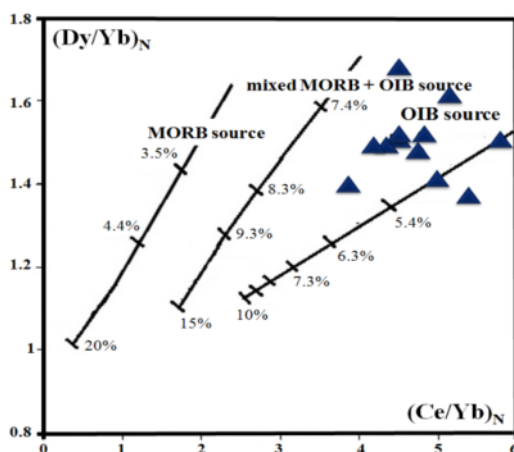
شکل ۷ موقعیت نمونه‌های مورد بررسی روی نمودار تمایز محیط زمین‌ساختی  $\text{Ti}/1000-\text{V}$ . [۳۰].



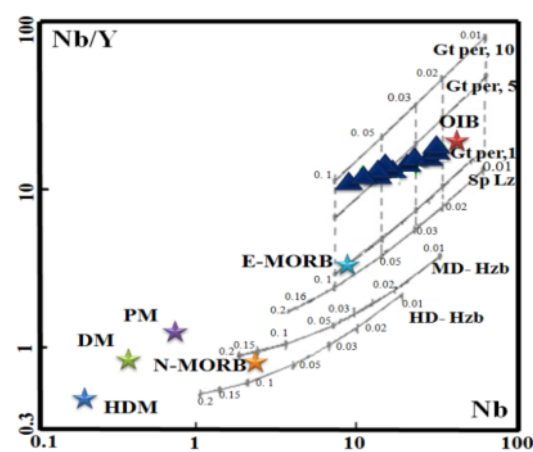
شکل ۸ ب) موقعیت نمونه‌های مورد بررسی در قلمرو بازالت‌های قاره‌ای پ) موقعیت نمونه‌های مورد بررسی در قلمرو کافت قاره‌ای در نمودار تمایز محیط زمین‌ساختی  $Zr/Nb$  نسبت به  $Zr/Y$  [۳۳].

مشتق شده‌اند (شکل ۱۲). عناصر  $Yb$  و  $Lu$  در رفتار ژئوشیمیایی مشابهی دارند، در نتیجه نسبت  $Lu/Yb$  طی تبلور جدایشی یا ذوب بخشی به میزان قابل توجهی تغییر نمی‌کند. ماقماهای مشتق شده از گوشتله دارای نسبت پایین  $Lu/Yb$  با میانگین  $14-15/0$  هستند، در حالی که این نسبت در پوسته‌ی قاره‌ای بالا و حدود  $16-18/0$  است [۲۸]. میانگین نسبت  $Lu/Yb$  در نمونه‌های بازالتی مورد بررسی  $13/0$  است که کمتر از میانگین پوسته‌ی قاره‌ای است و بیانگر مشتق شدن ماقماهای این سنگ‌ها از خاستگاه گوشتله‌ای بدون آلایش با پوسته‌ی قاره‌ای است. به اعتقاد [۴۰، ۴۱]، سنگ‌های بازالتی که تحت تأثیر آلایش پوسته‌ای قرار گرفته‌اند دارای نسبت‌های  $La/Ta > 22$  و  $La/Nb > 1/5$  هستند. مقدار این نسبت‌ها در بازالت‌های مورد

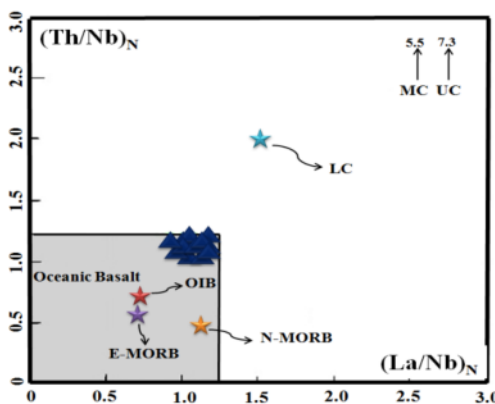
که بیانگر وجود گارنت در خاستگاه این سنگ‌هاست. چنانکه قبل از بیان شد قرارگیری نمونه‌ها در قلمرو OIB به دلیل یکسان بودن ترکیب محل خاستگاه بازالت‌های درون ورقه قاره‌ای با ترکیب محل خاستگاه OIB (ستون‌های گوشتله‌ی استنوسفری در حال صعود) است. به طور کلی ویژگی‌های ژئوشیمیایی بازالت‌های منطقه با تشکیل آن‌ها از یک خاستگاه گوشتله‌ای وابسته به ستون‌های گوشتله‌ای سازگار است که از عناصر ناسازگار، بخصوص LREE‌ها غنی شده‌اند [۳۹] (شکل ۱۱). برای نمایش اثرهای آلایش پوسته‌ی قاره‌ای بر نمونه‌های مورد بررسی از نمودار  $(Th/Nb)N$  نسبت به  $(La/Nb)N$  استفاده شد (عناصر نسبت به گوشتله‌ی اولیه [۲۰] بهنجار شده‌اند). براساس این نمودار، همه‌ی نمونه‌ها از یک خاستگاه گوشتله‌ای غنی شده استنوسفری و بدون آلایش پوسته‌ای



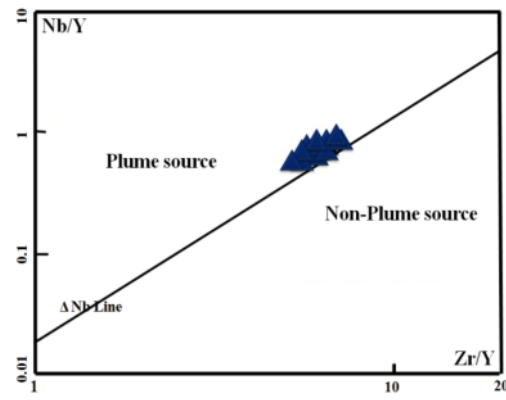
شکل ۱۰ موقعیت نمونه‌های مورد بررسی در نمودار  $Nb/Y$  نسبت به  $(Dy/Yb)_N$  [۳۸] در نمودار  $(Ce/Yb)_N$  نسبت به  $(Dy/Yb)_N$



شکل ۹ موقعیت نمونه‌های مورد بررسی در نمودار  $Nb/Y$  نسبت به  $Nb$  [۳۶]



شکل ۱۲ موقعیت نمونه‌های مورد بررسی در نمودار  $(\text{Th}/\text{Nb})_{\text{N}}$  نسبت به  $(\text{La}/\text{Nb})_{\text{N}}$ . [۲۸]

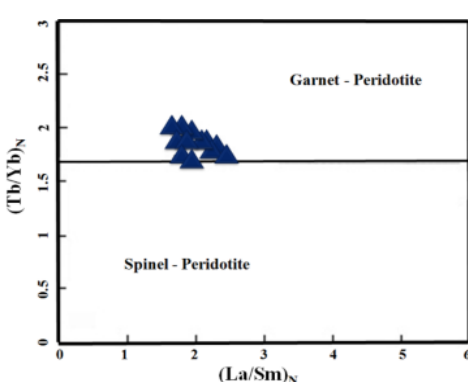


شکل ۱۱ موقعیت نمونه‌های مورد بررسی در نمودار  $\text{Zr}/\text{Y}$  نسبت به  $\text{Nb}/\text{Y}$ . [۳۹]

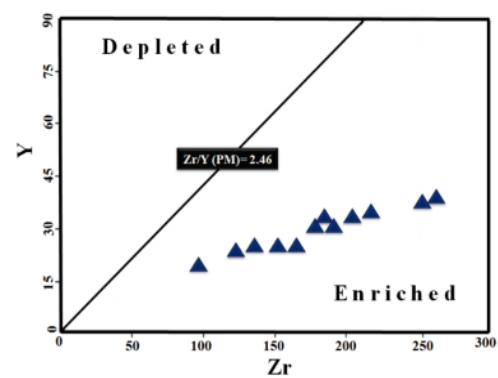
عنصر می‌توان اطلاعات زیادی در مورد ترکیب شیمیایی خاستگاه به دست آورد [۴۳]. در نمودار  $(\text{La}/\text{Sm})_{\text{N}}$  نسبت به  $(\text{Tb}/\text{Yb})_{\text{N}}$  [۴۴]، که عناصر نسبت به کندریت [۴۵] بهنجار شده‌اند، نمونه‌های مورد بررسی در گسترده‌ی گارنت پریدوتیت قرار گرفته‌اند (شکل ۱۴).

برای تعیین درجه‌ی ذوب بخشی خاستگاه از نمودار  $\text{Sm}/\text{Yb}$  نسبت به  $\text{La}/\text{Yb}$  [۴۶] استفاده شد. در این نمودار، سنگ‌های بازالتی منطقه روی منحنی ذوب گارنت پریدوتیت با درجه‌ی ذوب بخشی ۱۴ تا ۱۶ درصد قرار می‌گیرند (شکل ۱۵). عمق به دست آمده برای محل ذوب سنگ خاستگاه نمونه‌های مورد بررسی با استفاده از نمودار [۴۷]، ۱۰۰ تا ۱۱۰ کیلومتر به دست آمد که بیانگر ذوب یک ستون گوشه‌ای عمیق در حال صعود است (شکل ۱۶).

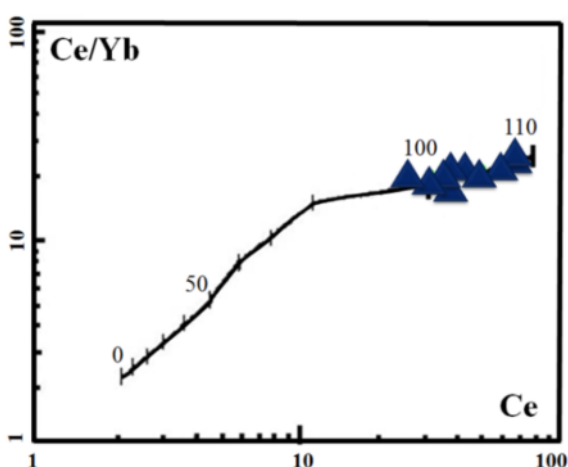
بررسی به ترتیب ۱۳/۲۶ - ۱۸/۴۶ و ۱/۱۱ - ۰/۸۸ است، که بیانگر عدم آلایش پوسته‌ای در مagma‌های تشکیل دهنده‌ی سنگ‌های بازالتی منطقه است. برای تشخیص غنی‌شدگی و یا عدم غنی‌شدگی خاستگاه بازالت‌های قلیایی منطقه، از نمودار  $\text{Zr}/\text{Y}$  نسبت به  $\text{Y}$  [۴۲] استفاده شد (بر اساس داده‌های [۲۰]). در نمودار  $\text{Zr}/\text{Y}$  نسبت به  $\text{Y}$  نیز نمونه‌های مورد بررسی در گسترده‌ی گوشه‌ی غنی شده قرار گرفته‌اند (شکل ۱۳). نسبت  $\text{Zr}/\text{Y}$  در گوشه‌ی اولیه (PM) ۲/۴۶ است که این نسبت در بازالت‌های مورد بررسی بین ۵/۳۸ - ۷/۰۱ است. لذا می‌توان نتیجه گرفت که magma‌های تشکیل دهنده‌ی سنگ‌های منطقه از یک خاستگاه گوشه‌ی غنی شده ریشه گرفته است. تغییرات کانی‌شناسی خاستگاه روی غلظت عناصر ناسازگار از قبیل La و Sm تأثیر قابل توجهی ندارد، بنابراین با استفاده از این دو



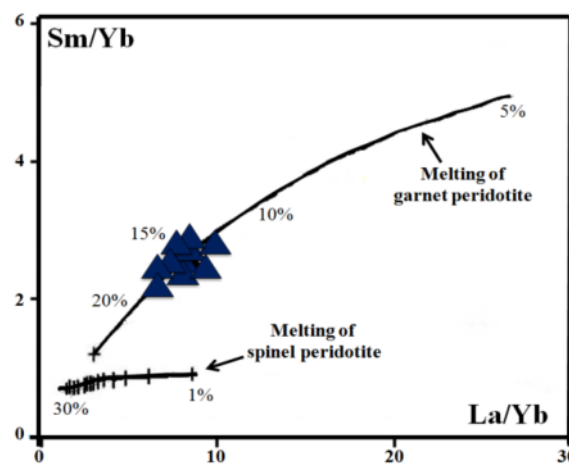
شکل ۱۴ موقعیت نمونه‌های مورد بررسی در نمودار  $(\text{Tb}/\text{Yb})_{\text{N}}$  نسبت به  $(\text{La}/\text{Sm})_{\text{N}}$ . [۴۳]



شکل ۱۳ موقعیت نمونه‌های مورد بررسی در نمودار  $\text{Zr}$  نسبت به  $\text{Y}$ . [۴۲]



شکل ۱۶ موقعیت نمونه‌های مورد بررسی در نمودار  $\text{Ce}/\text{Yb}$  نسبت به  $\text{Ce}$  [۴۶].



شکل ۱۵ موقعیت نمونه‌های مورد بررسی در نمودار  $\text{Sm}/\text{Yb}$  نسبت به  $\text{La}/\text{Yb}$  [۴۵].

*relationships and tectonic implications", Tectonophysics 451 (2008) 123–155.*

[۳] قاسمی ح، ناجی آ، پتروژنر سنگ‌های آذرین پالئوزوئیک زیرین-میانی بخش‌هایی از ایران مرکزی، مجموعه مقالات هشتمین همایش انجمن زمین‌شناسی ایران، (۱۳۸۳) ص ۳۸۷-۳۹۷.

[۴] قاسمی ح، درخشی م، کانی‌شناسی، ژئوشیمی و نقش فراًیند جدایش مکانیکی بلورهای الیوین در تشکیل سنگ‌های آذرین پالئوزوئیک زیرین منطقه شیرگشت، شمال غرب طبس، ایران مرکزی، مجله بلورشناسی و کانی‌شناسی ایران، شماره ۲ (۱۳۸۷) ص ۲۲۴-۲۰۷.

[۵] آیتی ف، نقره‌ئیان م، خلیلی م، مروری بر مagmaتیسم پالئوزوئیک در بخشی از ایران مرکزی، مجله بلورشناسی و کانی‌شناسی ایران، شماره ۴ (۱۳۸۹) ص ۶۱۵-۶۳۲.

[۶] سهامی ط، زمین‌شناسی و پتروژنر بازلت سلطان میدان در مناطق نکارمن و ابرسج، شمال شاهروود، پایان‌نامه کارشناسی ارشد، دانشگاه صنعتی شاهروود، (۱۳۹۰) ۱۵۲ صفحه.

[۷] صالحیان ش، بررسی پترولسوژی و ژئوشیمی سنگ‌های آذرین مافیک موجود در شیسته‌های گرگان، پایان‌نامه کارشناسی ارشد، دانشگاه صنعتی شاهروود، (۱۳۹۰) ۱۶۲ صفحه.

[۸] درخشی م، قاسمی ح، سهامی ط، مقایسه magmaتیسم شدید سیلورین ایران مرکزی و البرز در نواحی شیرگشت و سلطان میدان، مجموعه مقالات پانزدهمین همایش انجمن زمین‌شناسی ایران، (۱۳۹۰) ۹ صفحه.

برداشت

سنگ‌های مورد بررسی که به صورت گدازه‌ی بازالتی، دایک و سیل میکروگابرویی در نهشته‌های اردوبویسین فوقانی (سازنده‌های ابرسج و قلی) حضور دارند، دارای ماهیت قلیایی هستند و براساس نمودارهای تمایز محیط زمین‌ساختی در محیط کافت درون قاره‌ای پالئوتیس توران در زمان اردوبویسین - سیلورین تشکیل شده‌اند. بررسی‌های ژئوشیمیایی بیانگر تشکیل مagmaی سازنده‌ی این سنگ‌ها از ذوب بخشی ۱۶ تا ۱۴ درصدی یک ستون گوشه‌ای گارتنت پریدوتیتی در حال صعود در اعماق ۱۰۰ تا ۱۱۰ کیلومتری و نقش تبلور جدایشی به عنوان فراًیند اصلی در شکل گیری magmaی سنگ‌های منطقه است.

قدرتانی

نویسنده‌گان مقاله از صندوق حمایت از پژوهشگران معاونت علمی ریاست جمهوری (INsf) (طرح پژوهشی شماره ۹۰۰۰۴۸۹۳) و دانشگاه صنعتی شاهروود به خاطر حمایت‌های مادی و معنوی از انجام این پژوهش تشکر می‌کنند.

مراجع

- [1] Alavi M., "Tectonostratigraphic synthesis and structural style of the Alborz mountain system in Northern Iran", Journal of Geodynamics 21 (1996) 1-33.
- [2] Bagheri S, Stampfli GM., "The Anarak, Jandaq and Posht-e-Badam metamorphic complexes in central Iran: New geological data,

- processes, in: Saunders, A.D., Norry M.J. (Eds.), Magmatism in the Ocean Basins", Geological Society London, Special Publication 42 (1989) 313–345.*
- [21] Nakamura N., "Determination of REE, Ba, Fe, Mg, Na and K in carbonaceous and ordinary chondrites", *Geochemica Cosmochimica Acta* 38 (1974) 757-775.
- [22] Zeng G., Chen L., Xu X., Jiang Sh., Hofmann A., "Carbonated mantle sources for Cenozoic intra-plate alkaline basalts in Shandong, North China", *Chemical Geology* 273 (2010) 35–45.
- [23] Zongfeng Y., Zhaohua L., Huafeng Zh., Yongmei Zh., Fan H., Chenguang S., Jing D., "Petrogenesis and Geological Implications of the Tianheyong Cenozoic Basalts, Inner Mongolia China", *Earth Science Frontiers* 16 (2009) 2:090-106.
- [24] Rollinson H.R., "Using Geochemical Data: Evaluation, Presentation, Interpretation", John Wiley and Sons (1993) 325p.
- [25] Shehata A., Theodoros N., "Alkali basalts from Burgenland,Austria: Petrological constraints on the origin of the westernmost magmatism on the Carpathian-Pannonic Region", *Lithos* 121 (2011) 176-188.
- [26] Thompson R.N., "British Tertiary volcanic province", *Scotland Journal of Geology* 18 (1982) pp 49 – 107.
- [27] Safonova I.Yu., Buslov M.M., Simonov V.A., Izokh A.E., Komiya T., Kurganskaya E.V., Ohno T., "Geochemistry, petrogenesis and geodynamic origin of basalts from the Katun' accretionary complex of Gorny Altai (southwestern Siberia)", *Russian Geology and Geophysics* 52 (2011) 421–442.
- [28] Dai J., Wang Ch., Hebert R., Li Y., Zhong H., Guillaume R., Bezard R., Wei Y., "Late Devonian OIB alkaline gabbro in the Zangbo Zone: Remnants of the Paleo-Tethys?", *Gondwana Research* 19 (2011) 232-243.
- [29] Prytulak J., Elliott T., "TiO<sub>2</sub> enrichment in oceanic island basalts", *Earth and Planetary Science Letters* 263 (2007) 388-403.
- [30] Shervais J.W., "Ti-V plots and the petrogenesis of modern and ophiolitic lavas", *Earth and Planetary Science Letters* 59 (1982) 101-118.
- [31] Simonov V.A., Mikolaichuk A.V., Rasskazov S.V., Kovyazin S.V., "Cretaceous-Paleogene within-plate magmatism in Central Asia: data from
- [۹] کاظمی حسنوند ز., قاسمی ح., طاهری ع., صادقیان م., "شواهد ماقماتیسم کافتی اردوبیسین، شمال شهرود، البرز شرقی، سی‌امین گردهمایی سازمان زمین‌شناسی و اکتشافات معدنی کشور، (۱۳۹۰) ۶ صفحه.
- [۱۰] قاسمی ح., خانعلی‌زاده ع., "گرانیت‌وئید نوع A تویه دروار جنوب باختر دامغان: نشانه‌ای از ماقماتیسم حوضه کششی پالئوتیس در پالئوزوئیک زیرین البرز"، مجله بلورشناسی و کانی‌شناسی ایران، سال بیستم، شماره ۱ (۱۳۹۱) ص ۲۴-۳.
- [۱۱] شهرابی م., نقشه زمین‌شناسی ۱/۲۵۰۰۰۰ گرگان، سازمان زمین‌شناسی کشور، (۱۳۶۹).
- [12] Ghavidel-Syooki M., "Palynostratigraphy and paleogeography of Ordovician strata (Abastu and Abarsaj formations) from the southeastern Caspian Sea, northeastern Iran", CIMP Faro09 (2009) 31-34.
- [۱۳] قویدل‌سیوکی م., حسین‌زاده مقدم م.س., "پالینواستراتیگرافی رسوبات پالئوزوئیک پیشین در جنوب تاحیه فاضل‌آباد (خولین دره) جنوب شرق گرگان"، پژوهش‌های چینه نگاری و رسوب‌شناسی، شماره پیاپی ۳۸، شماره ۱ (۱۳۸۹) ص ۲۴-۱.
- [14] Ghavidel-Syooki G., Hassanzadeh J., Vecoli M., "Palynology and isotope geochronology of the Upper Ordovician–Silurian successions (Ghelli and Soltan Maidan Formations) in the Khoshyeilagh area, eastern Alborz Range,northern Iran", stratigraphic and palaeogeographic implications 164 (2011) 251-271.
- [15] Best G., "Igneous and metamorphic petrology", (2003) 729pp.
- [16] Middlemost E.A.K., "Naming materials in the magma/igneous rock system", *Earth Science Reviews* 37 (1994) 215–224.
- [17] Winchester J.A., Floyd P.A., "Geochemical discrimination of different magma series and their differentiation products using immobile element Geology", *Chemical Geology* 20 (1977) 249-287.
- [18] Gill R., "Igneous rocks and processes apractical guide", Department of Earth Sciences Royal Holloway University of London (2010) 472.
- [19] Upadhyay D., Raith M.M., Mezger K., Hammerschmidt K., "Mesoproterozoic rift-related alkaline magmatism at Elchuru, Prakasam Alkaline Province, SE India", *Lithos* 89 (2006) 447-477.
- [20] Sun S., McDonough W.F., "Chemical and isotopic systematics of oceanic basalts: Implications for mantle composition and

- [39] Fitton J.G., "The OIB paradox. In: *Plates, Plumes and Planetary Processes* ( Foulger, G.R. and Jurdy, D.M. eds.)", Geological Society of America Special Publication 430 (2007) 387-412.
- [40] Hart W.K., Wolde Gabrie R.C. Walter, S. . Mertzman., "Basaltic volcanism in Ethiopia: constraints on continental rifting and mantle interaction", Journal of geophysical research 94 (1989) 7731- 7748.
- [41] Abdel – Fattah M., A. M. Abdel – Rahman and P.E. Nasser, "Cenozoic volcanism in the middle east: Petrogenesis of alkali basalts from northern Lebanon", Geological Magazine, Cambridge University Press 141 (2004) 545 – 563.
- [42] Abu-Hamatteh Z.S.H., "Geochemistry and petrogenesis of mafic magmatic rocks of the Jharol Belt, India: geodynamic implication", Journal of Asian Earth Sciences 25 (2005) 557-581.
- [43] Aldanmaz E., Pearce J.A., Thirlwall M.F., Mitchell J.G., "Petrogenetic evolution of late Cenozoic, post-collision volcanism in western Anatolia, Turkey", Journal of Volcanology and Geothermal Research 102 (2000) 67-95.
- [44] Wang K., Plank T., Walker J.D., Smith E.I., "A mantle melting profile across the basin and range, SW USA", Journal of Geophysical Research ECV 5 (2002) 1–21.
- [45] Boynton W.V., "Cosmochemistry of the rare earth elements: meteorite studies", In: Henderson, P. (Ed), Rare Earth Element Geochemistry, Elsevier, Amsterdam (1984) 63–114.
- [46] Johnson K.T.M, Dick H.J.B, Shimizu N., "Melting in the oceanic upper mantle: an ion microprobe study of diopsides in abyssal peridotites", Journal of geophysical research 95 (1990) 2661– 2678.
- [47] Ellam R.M., "Lithospheric thickness as a control on basalt geochemistry", Geology 20 (1992) 153- 156.
- the Tien Shan basalts", Russian Geology and Geophysics 49 (2008) 520-533.
- [32] Pearce J.A., Norry M.J., "Petrogenetic implications of Ti, Zr, Y and Nb variations in volcanic rocks", Contribution to Mineralogy and Petrology 69 (1979) 33-47.
- [33] Cabanis B., Lecolle M., "Le diagramme La/10- Yb/15- Nb/8: un outil pour la discrimination des séries volcaniques et la mise en évidence des processus de mélange et/ ou de contamination crustal", Comptes Rendus Académie des Sciences 309 (1989) 2023-2029.
- [34] Kampunzu A.B., Mohr P., Magmatic evolution and petrogenesis in the East African rift system. In: Kampunzu A.B, Labala R.T. (Eds.), *Magmatism in Extensional Structure Settings – The Phanerozoic African Plate*, Springer Verlag, Heidelberg (1991) 85–136.
- [35] Saccani E., Beccaluva L., Photiades A., Zeda O., "Petrogenesis and tectono-magmatic significance of basalts and mantle peridotites from the Albanian-Greek ophiolites and sub-ophiolitic mélanges. New constraints for the Triassic-Jurassic evolution of the Neo-Tethys in the Dinaride sector", Lithos 124 (2011) 227-242.
- [36] Safonova I.Yu., Simonov V.A., Kurganskaya E.V., Obut O.T., Romer R.L., Seltmann R., "Late Paleozoic oceanic basalts hosted by the Char suture-shear zone, East Kazakhstan : Geological position, geochemistry, petrogenesis and tectonic setting", Journal of Asian Earth Sciences 49 (2012) 20-39.
- [37] Blum N., Halbach P., Munch U., "Geochemistry and mineralogy of alkali basalts from Tropic Seamount, Central Atlantic Oceanic", Marine Geology 136 (1996) 1-19.
- [38] Haase K.M., Devey C.W., "Geochemistry of lavas from the Ahu and Tupa volcanic fields, Easter Hotspot, southeast Pacific: implications for magma genesis near a spreading axis", Earth and Planetary Science Letters 137 (1996) 129–143.